

嵌入式 BootLoader 的设计与实现

龙帆¹, 易波², 林能发³

(1. 湖南省交通科学研究院有限公司, 湖南长沙, 410000; 2. 湖南大学信息科学与工程学院, 湖南长沙, 410000; 3. 中联重科股份有限公司, 湖南长沙, 410000)

摘要: Bootloader是嵌入式系统的核心组成部分, 它连接起了嵌入式操作系统和硬件架构平台, 深刻影响着嵌入式设备的后续软件开发。UBoot是一款通用Bootloader, 本文详细分析了u-boot的特点及启动流程, 探讨利用Uboot实现支持NAND Flash和YAFFS文件系统的嵌入式Bootloader的方法。

关键词: Bootloader; U-boot; 嵌入式系统; S3C2440; 嵌入式开发板; 硬件

DOI:10.16589/j.cnki.cn11-3571/tn.2020.19.003

0 引言

嵌入式系统作为一种专用计算机系统, 它的软件和硬件都可根据需求进行裁剪, 因此能满足于对功能、可靠性、性价比、体积、能耗都要求严格场景的应用^{[1][6]}。嵌入式系统软件, 可分为四个层次: Bootlader、板级支持包、嵌入式操作系统、用户应用程序。其中 Bootloader 和板级支持包严重依赖于系统硬件, 是整个嵌入式系统开发中的难点和关键点。本文针对这个难点做了相应的研究, 探讨了嵌入式 BootLoader 的实现方法。

1 嵌入式文件系统和 BootLoader

常用的嵌入式文件系统有 ROMFS、CRAMFS、UC/FS、RFS、JFFS/JFFS2、YAFFS 等。其中 YAFFS 可读写日志文件系统是专为 NANDFlash 设计的, 其提供了直接访问文件系统的 API 自带 NAND 驱动, 操作速度快, 内存占用少, 具备错误检测和坏块处理, 采用多策略混合的垃圾回收算法, 并提供跨平台支持。

Bootloader是嵌入式微处理器上电运行的第一段程序, 主要完成硬件核心初始化、内存映射初始化、操作系统运行环境准备等, 其位于整个存储区域最前端, 如图 1 所示。通常 BootLoader 有两种模式: (1) 启动模式: BootLoader 从非易失存储器件上将操作系统镜像加载到随机存储器 RAM 中解压运行; (2) 下载模式: BootLoader 通过串口或网络从主机下载文件, 此模式一般用于系统开发调试。由于 CPU 架构和板级结构种类庞杂, Bootloader 不可能实现完全的统一。^{[2][7][10]}但实现一个具有最大通用性, 只需修改少量代码就可以在不同架构上运行的 Bootloader 则完全可行, U-Boot 就是这样的一个 Bootloader。

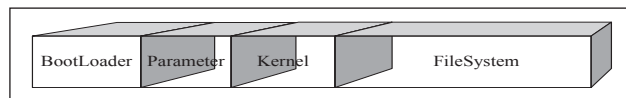


图1 闪存存储示分配意图图

U-Boot 源码中没有对 NAND Flash 启动和 YAFFS 文

件系统的支持, 本文将探讨移植 U-Boot, 并增加对 NAND Flash 和 YAFFS 的支持。

2 Uboot 的特性及启动过程

U-boot 是目前嵌入式平台上具备最广泛通用性和应用最多的开源 Bootloader^{[3][8]}。U-Boot 的启动可分成两个阶段: (1) 用汇编实现的 CPU 体系结构初始化。(2) 用 C 语言实现的板级初始化、用户交互功能和操作系统加载。其代码结构如图 2 所示^{[4][9]}。

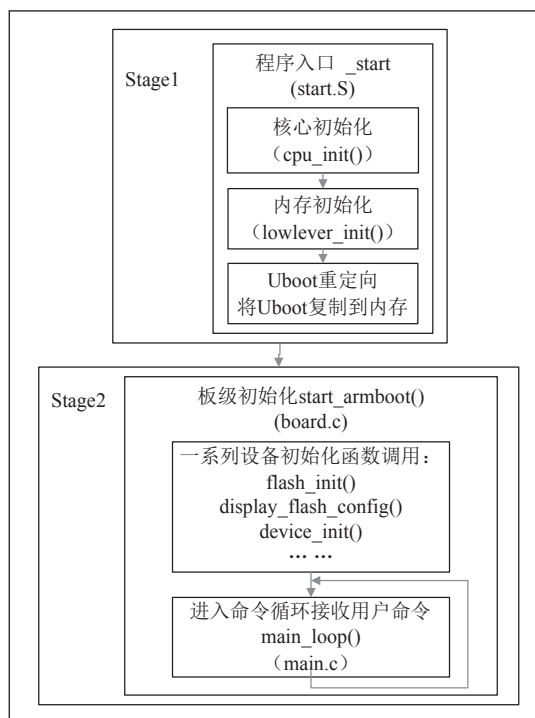


图2 U-Boot 的执行顺序

3 NAND Flash 的特点和操作

NAND 和 NOR 是当前两种主流的非易失闪存技术。NAND 结构比 NOR 结构具备更高的储存密度, 且 NAND 每个块的最大擦写次数能达一百万次, 能大大提高产品寿命。但 NAND 在操作上较复杂, 在执行其他操作前必须先写入

驱动程序,且 NAND 器件的写入操作也是相当有技巧的一项工作。

NAND 的数据是以 bit 形式保存在 memory cell 中的,一个 memory cell 只能储存一个 bit,每 8 个或 16 个 memory cell 连成 bit line,形成位宽。这些 Line 再组成 Page,然后每 32 个 Page 形成一个 Block,所以一个 Block 的大小是 16k,Block 是 NAND 器件中的最大操作单元,以 K9F1208B0C 为例,其结构如图 3 所示。

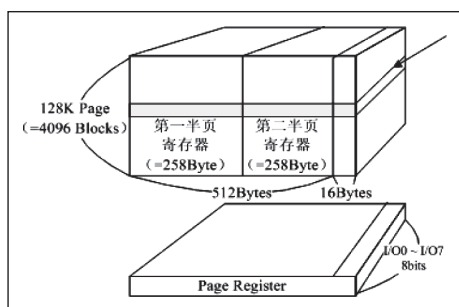


图 3 NAND 器件储存结构

NAND 器件储存单元的地址通过 Column Address 和 Page Address 指定,Column Address 指定了从 Page 上的某个 Byte 开始读取,Page Address 指定开始读取的 Page,只要指定了 Column Address,NAND 控制寄存器可以自动完成对整个 Page 的读取。当地址传递不能在一个周期内完成时,就须分多个周期来完成,就构成了 NAND 器件操作的多周期性,当得到 NAND 地址时我们通过如下分解得到每周期传递的地址:

```
NANDFLASHAD = addr & 0xFF; // 计算得到列地址
NANDFLASHAD = (addr >> 9) & 0xFF;
NANDFLASHAD = (addr >> 17) & 0xFF;
NANDFLASHAD = (addr >> 25) & 0xFF;
```

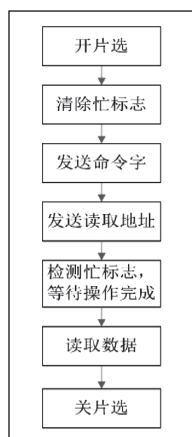


图 4 NAND Flash 读取操作命令队列

NAND 只能进行写 0 操作,在初始化后所有存储单元都为“1”,为可写状态。当某个已经为“0”的位需要复

位为“1”时,只能借由清除整个区块来复位“1”的状态。NANDFlash 的地址,数据和命令端口是复用的,因此对 NAND 的操作要通过命令队列方式完成,如图 4 所示。

4 构建嵌入式 BootLoader

4.1 硬件平台特性

目标板硬件资源如表 1 所示。

表1 硬件资源

硬 件	描 述
CPU	S3C2440
储存器	NANDFLASH 64M
	K9F1208B0C
	SDRAM 64M
网卡芯片	HYS7V561620FTP-H
晶振	DM9000AEP
	外部12MHz

S3C2440 是三星公司生产的基于 ARM920T 内核的 RISC 处理器。通过对 S3C2440 的 NANDFlash 控制器寄存器发送命令可实现对 NANDFlash 芯片的读写。其 NAND Flash 的启动过程如图 5 所示,上电后,NANDFlash 控制器将自动搬移 NANDFlash 前 4KB 空间的数据到内部 RAM,并将内部 RAM 的起始地址设为 0 地址,CPU 从 0 地址开始执行^[5]。

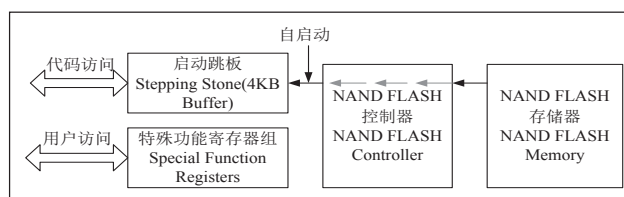


图 5 S3C2440 核心的 NAND Flash 启动

4.2 修改底层驱动

首先配置系统运行时时钟。外部晶振为 12MHz,主频为 405MHz,时钟分频设为 1:4:8。修改 /cpu/arm920t/start.S,设置寄存器 CAMDIVN=0,CLKDIVN=5,并增加一个对时钟的缓冲操作:

```
mrc p15, 0, r1, c1, c0, 0
orr r1, r1, #0xc0000000
mcr p15, 0, r1, c1, c0, 0
```

S3C2440 的核心只能从 NANDFlash 自动搬移小部分代码到内部 RAM (Steppingstone 区),因此 S3C2440 的核心配置以及将代码从 Flash 复制到 SDRAM 的工作必须在 Bootloader 的前 4KB 代码内完成。UBoot 并不支持 NANDFlash 启动,所以还须在底层增加 NANDFlash 驱动。在 /cpu/arm920t/start.S 中配置 NANDFlash 控制寄存器 NANDCONF 和 NANDFCNT,增加初始化操作:

```
ldr r2, =(7<<12)|(7<<8)|(7<<4)|(0<<0))
```

```

str r2, [#NANDCONF]      // 页大小和容量设置
ldr r2, =( (1<<4)|(0<<1)|(1<<0) )
str r2, [#NANDFCONT]     // 将 NAND 控制寄存器配置为
使能

```

随后跳入 NANDFlash 操作函数 `nand_read_ll` 中完成 BootLoader 自身的拷贝。在 `nand_read_ll` 函数中关注下列代码:

```

{
    int n, m;
    NAND_FLASH_ENABLE;      // 操作前打开片选
    // #define NAND_CHIP_ENABLE (NANDFCONT &=
    ~(1<<1))
    for(n= start_address; n < (start_address + length);) {
        NAND_CLEAR_BUSY;    // 将忙标志清除掉
        NANDCMD = 0;
        NANDADDR = n & 0xFF;
        // 根据芯片 Datasheet, 地址写入需要 4 个时钟周期,
        第一周期为列地址, 后面三个周期为页地址
        NANDADDR = (n >> 9) & 0xFF;
        NANDADDR = (n >> 17) & 0xFF;
        NANDADDR = (n >> 25) & 0xFF;
        NAND_DET_BUSY;      // 判断操作是否完成
        // #define NAND_DET_BUSY
        { while(! (NANDSTAT&(1<<2))) }
        for(m=0; m < NAND_SECTOR_SIZE; m++, n++){
            * data = (NANDDATA & 0xFF);
            data ++;
        }
        NAND_FLASH_DISABLE;
        return 0;
    }
    .....
}

```

■ 4.3 修改链接文件和配置

为了将 NAND Flash 的初始化和 U-Boot 重定向放到前 4K 中, 需要修改链接文件 `/BOARD/ myboard/u-boot.lds` 中代码段的分配, 将 CPU 初始化, NAND 初始化和读取放到最初的 Steppingstone 空间, 将下列代码添加到链接文件:

```

BOARD/myboard /llevel_init.o(.text)
BOARD/myboard /nandflash_rd.o(.text)

```

在 U-Boot 板级配置文件 `include/configs/` 中添加配置头文件。这个文件包括开发板的 CPU、时钟、RAM、

Flash、网络、用户交互命令及其他相关配置。

```

#define CONF_CMD_NAND      1
//NAND 操作命令支持

#define CONF_MTD_NAND_VERIFY_WRITE  1
//NAND 写校验使能

#define CONF_NAND_DEVICE_MAX  1
//NAND 器件数

#define NAND_S3C2440      1
//S3C2440 芯片支持

#define CONF_DM9000  1
// 添加 NANDFlash 寄存器的映射地址

#define NAND_CTL_BASE  0x4E000000

#define NANDCONF      0
#define NANDFCONT      4
#define NANDCMD      8
#define NANDADDR      12
#define NANDDATA      16
#define NANDSTAT      32
#define NANDECC      44

```

■ 4.4 增加对 YAFFS 文件系统的支持

在 UBoot 中是从 `do_nand()` 函数进入 NAND Flash 操作的, 在配置文件中加入 `CONFIG_COMMANDS` 和 `CFG_CMD_NAND` 宏定义后方可使用此函数。当进入 `do_nand()` 函数后会调用 `/include/nand.h` 中的 `nand_read()` 函数, 然后通过访问本 NAND 芯片对应的 `nand_info_t` 结构完成对 `nand_chip` 结构中 `cmdfunc` 指针的调用, 通过这个指针指向的函数完成向 NAND Flash 发送命令。要使 UBoot 支持 YAFFS 就要修改 `do_nand()` 函数, 使其能够认识 YAFFS 文件。在 `do_nand()` 函数中增加下列代码:

```

if(f!= null && !strcmp(f,".yaffs")){
    if(yaffs_read){
        printf("READ YAFFS IS NOT PROVIDE!");
    }
    else{
        nand.writeoob=1;
        ret= nand_write_skip_bad(nand, off,
        &length, (unsigned char *)address);
        nand.writeoob=0;
    }
}

```

在 UBoot 的交互命令中加入读写 YAFFS 的命令描述:

```

"nand write.yaffs - address off|partition size, " write
'size' starting at 'off' \n"
"to/from yaffs image in 'addr' .\n"

```

修改顶层 Makefile 文件:

```
myboard_config:unconfig@$(makeconfig)$@(@:_
config=)arm arm920t myboard mull s3c24x0
```

最后将工程中文件的 (CONFIG_S3C2410) 宏更改为 (CONFIG_S3C2440) 宏, 再运行 make 命令编译生成 u-boot.bin 镜像, 将镜像下载到目标板的 NAND Flash 中。将目标板重新启动后我们就可以利用 UBOOT 的 nand write.yaffs 命令完成将 YAFFS 文件写入 Flash。

5 结语

BootLoader 作为嵌入式系统的核心环节, 对其设计与开发的研究就一直没有停止过。优秀的 Bootloader 不但要运行稳定、高效, 还要具备强大的命令交互功能, 这就对开发人员提出了极高的要求, 他们不但要熟悉硬件体系架构、操作系统原理, 还要具备软硬件协同开发能力, 并且整个开发过程极其复杂, 因此在成熟 Bootloader 上进行源码移植, 使其满足新需求, 能有效降低对开发人员的要求, 缩短研发周期并提高产品稳定性, 是工程开发的首选方式。本文设计的 BootLoader 提供 NAND 启动和 YAFFS 支持的同时保留了强大的用户交互能力, 并且已在企业合作项目中取得了成功。

.....
(上接第 28 页)

4 系统主要规格参数

(1) 主控板电路是采用 STM32F407 嵌入式芯片作为控制核心, 芯片采用工作频率为 168 MHz 的 Cortex™-M4 内核。

(2) 步进电机型号为: J4218HB3401, 控制采用 6 细分电流 1A, 3200 脉冲步进电机旋转一圈; 电机控制电源采用 12V。

(3) 红外感应采用 940nm 波长红外 LED。

(4) 步进电机驱动硬件系统采用 12V2A 的电源。

5 结束语

眼球自动对焦柔性调节方面, 随时对相机传送的图像进行处理, 确定待测瞳孔的坐标位置; PC 机和 SLO 相机交换瞳孔坐标位置, 确定坐标定位 XYZ 步进电机移动参数,

.....
(上接第 83 页)

* [5] 孔凡才, 周良权. 电子技术综合应用创新实训教程 [M]. 北京: 高等教育出版社, 2008.

参考文献

- * [1] 萨日那. 嵌入式系统及模型化开发技术研究 [J]. 现代电子技术, 2016,3:146-150.
- * [2] 温暖, 杨维明, 彭菊红, 等. 基于 MCU 的嵌入式系统的 Bootloader 设计 [J]. 微电子学与计算机, 2018(3):79-82.
- * [3] The Denx U-Boot and Linux Guide[EB/OL]. Http://www.denx.de/twiki/bin/view/DULG/Manual, 2020-08-12.
- * [4] 税静, 吴长水. 发动机控制器在线升级系统的设计与实现 [J]. 农业装备与车辆工程, 2020,58(6):44-48.
- * [5] S3C2440A 32-BIT MICROCONTROLLER USER`S MANUAL. Revision 1[C]. 2016.
- * [6] 廖勇, 杨霞. 嵌入式操作系统 [M]. 北京: 高等教育出版社, 2017: 20-38.
- * [7] 吴磊, 皮智, 袁宗胜. 一种基于 S3C6410 的 BootLoader 的设计与实现 [J]. 计算机应用与软件, 2016,33(9):238-244.
- * [8] K C Wang.Embedded and Real-Time Operating Systems[M],Beijing:China Machine Press,2020:56-88.
- * [9] 滕军. 基于 ARM 的 BootLoader 系统加载设计 [J]. 信息与电脑, 2019,31(17):82-83.
- * [10] 龙帆. 易波基于 ZigBee 的智能家居网关系统的研究与实现 [D]. 湖南: 湖南大学, 2010.

确保待测瞳孔的坐标和 GUI 界面图像显示区域坐标重合。在对焦过程中, 采用梯形算法控制步进电机的运行, 使得对焦更精准和平稳。

参考文献

- * [1] Rodieck R W. The vertebrate retina: principles of structure and function[M]. Series of books in biology. Oxford: Freeman. 1973: 1044.
- * [2] Hogg R E, Chakravarthy U. Visual function and dysfunction in early and late age-related maculopathy[J]. Progress in retinal and eye research,2006,25(3): 252
- * [3] 陈蔚霖, 常军, 赵雪惠, 金辉. 广域眼底相机光学系统的设计与仿真分析 [J]. 中国光学, 2020,13(04):814-821.
- * [4] 张秀国. 单片机 C 语言程序设计教程与实训 [M]. 北京大学出版社, 2008: 78-94.

* [6] 李鹏. 数字电子技术及应用项目教程 [M]. 北京: 电子工业出版社, 2016.